

УДК 519.6: 536.24

НИКИТЕНКО Н.И.¹, СНЕЖКИН Ю.Ф.¹, СОРОКОВАЯ Н.Н.¹, КОЛЬЧИК Ю.Н.²¹Институт технической теплофизики НАН Украины²Киевский национальный университет строительства и архитектуры

ТЕПЛОМАССООБМЕН ПРИ РАЗЛИЧНЫХ РЕЖИМАХ ТЕЧЕНИЯ В КАНАЛЕ С ПОРИСТЫМИ СТЕНКАМИ

Викладено метод математичного моделювання динаміки тепломасообміну при різноманітних режимах течії рідини в каналах з пористими стінками на базі рівнянь Нав'є -Стокса та методу гальмування швидкостей зміни шуканих функцій в деяких вузлових точках різницевої сітки. Виконано зіставлення результатів моделювання з відомими експериментальними даними.

Излагаются метод математического моделирования динамики тепло-массообмена при различных режимах течения жидкости в каналах с пористыми стенками на базе уравнений Навье-Стокса и метода торможения скоростей изменения искомого функций в некоторых узловых точках разностной сетки. Выполнено сопоставление результатов моделирования с известными экспериментальными данными.

Are stated a method of mathematical modeling of dynamics heat and mass transfer at various modes of current of a liquid in channels with porous walls on the basis of equations Navier-Stokes and of the method of braking speeds of change of required functions in some points in nodes of finite-difference grids. Comparison of results of modelling to known experimental data is executed.

a – температуропроводность;
 b_w – доля узлов, в которых осуществляется торможение скоростей изменения искомого функций во времени;
 C – объемная концентрация компонента смеси;
 d – диаметр;
 D – коэффициент диффузии;
 g_x, g_y – проекции создаваемого массовыми силами ускорения g на оси x и y ;
 G – расход жидкости;
 Gr – число Грасгофа;
 Gr_D – диффузионное число Грасгофа;
 h_x, h_y – размер шагов разностной сетки по пространственным координатам x и y ;
 I – число шагов разностной сетки вдоль оси x ;
 M – число шагов разностной сетки вдоль оси y ;
 J – плотность потока массы;
 l – размер шага разностной сетки по времени t ;
 L – масштаб длины;
 P – давление;
 Pr – число Прандтля;
 Re – число Рейнольдса;
 Sc – число Шмидта;
 t – время;
 T – температура;
 u, v – проекции вектора скорости на оси x и y ;

V – масштаб скорости;
 V_η и V_τ – проекции вектора скорости на оси η и τ ;
 x, y – декартовы координаты;
 X – половина ширины щелевого канала;
 Y – длина канала;
 β_T – коэффициент объемного термического расширения;
 β_j – коэффициентами объемного расширения вследствие изменения объемной концентрации j -го компонента;
 η и τ – нормаль и касательная к граничной поверхности;
 θ – весовой параметр разностного уравнения;
 λ – коэффициент теплопроводности;
 ν – кинематический коэффициент вязкости;
 ρ – плотность;
 ψ – функция тока;
 ω – функция вихря;
 ∇ – оператор Гамильтона.

Индексы:

гр – граничные точки;
 n – начальные значения функций;
 t – турбулентность;
 ε – эквивалентная величина;

ε – эффективные параметры;
 i, m и n – порядковые номера шагов разностной сетки по координатам x, y и t ;

j – порядковый номер компонента смеси;
 k – порядковый номер итераций;
 W – функция, принимающая значения $u, v, T, C_j, \psi, \omega$.

Введение

Процессы тепломассообмена в каналах с пористыми стенками при ламинарном, переходном и турбулентном режимах течения представляют интерес для ряда отраслей современной техники в связи с процессами сушки, испарения, конденсации, горения, адсорбции, пористого охлаждения.

Численное моделирование течения и теплообмена в каналах с проницаемыми стенками обычно [1,2] проводится на базе уравнений пограничного слоя. В работе [3] предложен сеточный метод расчета ламинарного течения и теплообмена однокомпонентной вязкой несжимаемой жидкости в каналах при наличии вдува на базе уравнений Навье – Стокса и двухслойной пересчетной явной разностной схемы.

В настоящей работе излагается метод моделирования гидродинамики и тепломассообмена при ламинарном, переходном и турбулентном режимах течения в канале с пористыми стенками с использованием неусредненных уравнений Навье-Стокса и трехслойной пересчетной явной разностной схемы. Для расчета переходного и турбулентного режимов течения дополнительно привлекается метод торможения скоростей изменения компонентов вектора скорости, температуры и объемных концентраций в некоторых узловых точках области, идея которого сформулирована в [4] в связи с задачами естественной конвекции.

Математическая модель

Для моделирования течения и тепломассообмена во внутренних точках канала используется система двумерных уравнений Навье – Стокса в дивергентной безразмерной форме, которая в переменных функция тока ψ , функция вихря ω , температура T и объемная концентрация C_j компонентов смеси, $j = 1, 2, \dots, j_k$, имеет вид:

$$\frac{\partial \omega}{\partial t} + \frac{\partial u \omega}{\partial x} + \frac{\partial v \omega}{\partial y} = \frac{1}{\text{Re}} \left(\frac{\partial^2 \omega}{\partial x^2} + \frac{\partial^2 \omega}{\partial y^2} \right) + \frac{\text{Gr}}{\text{Re}^2} \left(\frac{g_y}{g} \frac{\partial T}{\partial x} - \frac{g_x}{g} \frac{\partial T}{\partial y} \right) + \sum_j \frac{\text{Gr}_{dj}}{\text{Re}^2} \left(\frac{g_y}{g} \frac{\partial C_j}{\partial x} - \frac{g_x}{g} \frac{\partial C_j}{\partial y} \right), \quad (1)$$

$$\frac{\partial T}{\partial t} + \frac{\partial u T}{\partial x} + \frac{\partial v T}{\partial y} = \frac{1}{\text{Re Pr}} \left(\frac{\partial^2 T}{\partial x^2} + \frac{\partial^2 T}{\partial y^2} \right), \quad (2)$$

$$\frac{\partial C_j}{\partial t} + \frac{\partial u C_j}{\partial x} + \frac{\partial v C_j}{\partial y} = \frac{1}{\text{Re Sc}} \left(\frac{\partial^2 C_j}{\partial x^2} + \frac{\partial^2 C_j}{\partial y^2} \right), \quad (3)$$

$$\frac{\partial^2 \psi}{\partial x^2} + \frac{\partial^2 \psi}{\partial y^2} = \omega, \quad (4)$$

$$u = \frac{\partial \psi}{\partial y}, \quad v = -\frac{\partial \psi}{\partial x}, \quad \omega = \frac{\partial u}{\partial y} - \frac{\partial v}{\partial x}. \quad (5)$$

где $\text{Re} = VL/\nu$; $\text{Gr} = g\beta L^3 \Delta T/\nu^2$; $\text{Gr}_{dj} = g\beta_j L^3 \Delta C_j/\nu^2$ – диффузионное число Грасгофа для j -го компонента смеси; $\text{Pr} = \nu/a$; $\text{Sc} = \nu/D$; $\beta_T = -(\partial \rho / \partial T) / \rho$; $\beta_j = -(\partial \rho_j / \partial C_j) / \rho_j$.

Уравнения переноса вихря (1), энергии (2), массы компонентов (3) и тока (4) записаны в предположении, что в каждый момент времени t относительное отклонение плотности смеси $\rho(t, x, y)$ и кинематической вязкости $\nu(t, x, y)$ от их средних значений для рассматриваемой области пространства в тот же момент времени являются малыми. Распределения давления жидкости в канале может быть найдено путем решения следующего уравнения типа Пуассона, вытекающего из уравнений Навье – Стокса:

$$\frac{\partial^2 P}{\partial x^2} + \frac{\partial^2 P}{\partial y^2} - 2 \left[\frac{\partial^2 \psi}{\partial x^2} \frac{\partial^2 \psi}{\partial y^2} - \left(\frac{\partial^2 \psi}{\partial x \partial y} \right)^2 \right] + \frac{\text{Gr}}{\text{Re}^2} \left(\frac{g_y}{g} \frac{\partial T}{\partial x} + \frac{g_x}{g} \frac{\partial T}{\partial y} \right) +$$

$$+ \sum_j \frac{Gr_{ij}}{Re^2} \left(\frac{g_y}{g} \frac{\partial C_j}{\partial x} + \frac{g_x}{g} \frac{\partial C_j}{\partial y} \right). \quad (6)$$

Для уравнений (1)–(3) требуется задание как начальных, так и граничных условий, а для (4) – только граничных. Начальное распределение скоростей, температуры и объемной концентрации в общем случае имеет вид

$$W(0, x, y) = W_H(x, y), \quad W = u, v, T, C_j. \quad (7)$$

В том случае, когда требуется найти нестационарное решение системы уравнений (1)–(5), поле функции вихря в момент времени $t = 0$ приближенно может быть найдено путем решения уравнений (1) и (4) методом установления при условиях (7) и произвольном задании функции ω для первой итерации.

Ниже для простоты граничные условия тепло- и массообмена приводятся для щелевого канала $-X < x < X$.

Для входного сечения канала $y = 0$ задаются условия

$$W(t, x, 0) = W_0(t, x), \quad W = u, v, T, C_j. \quad (8)$$

На проницаемой границе $x = X$ задаются плотности потоков $J'_j(t, X, y)$ вдуваемых компонентов, уравнения их состояния и условия теплообмена, которые могут быть первого, второго или третьего рода. Результирующая нормальная составляющая скорости потока $u(t, X, y)$ на этой границе связана с расходами и объемными концентрациями компонентов соотношением

$$u(t, X, y) = \sum_j J'_j(t, X, y) / \sum_j C_j(t, X, y), \quad (9)$$

причем объемная концентрация $C_j(t, X, y)$ компонента j на границе $x = X$ находится из уравнения сохранения массы

$$J'_j(t, X, y) = C_j(t, X, y)u(t, X, y) - \frac{1}{ReSc} \frac{\partial C_j}{\partial x}. \quad (10)$$

В простейшем случае можно положить, что на этой границе продольная составляющая скорости равна нулю, а условия теплообмена – первого рода

$$v(t, X, y) = 0, \quad T(t, X, y) = T'(t, y). \quad (11)$$

Когда поля скоростей, температуры и объемной концентрации компонентов являются симметричными относительно средней плоскости канала $x = 0$, то на этой плоскости выполняются условия

$$v(t, 0, y) = 0; \quad \frac{\partial u(t, 0, y)}{\partial y} = \\ = \frac{\partial T(t, 0, y)}{\partial y} = \frac{\partial C_j(t, 0, y)}{\partial y} = 0. \quad (12)$$

В предположении, что длина канала Y достаточно велика ($Y/X \gg 1$) и вблизи границы $y = Y$ течение и теплообмен стабилизируются, граничные условия при $y = Y$ принимаются в виде:

$$\frac{\partial W^s}{\partial x^s} \approx 0, \quad W = u, v, T, C_j, \psi, \omega; \quad s = 1, 2, \dots \quad (13)$$

С целью обеспечения более высокой точности решения для периода установления течения и теплообмена целесообразно дополнительно использовать уравнения баланса массы для каждого из компонентов системы:

$$\int_0^Y C_j(t, 0, y)u(t, 0, y)dy - \int_0^X C_j(t, x, Y)v(t, x, Y)dx + \\ + \int_0^X C_j(t, x, 0)v(t, x, 0)dx - \\ - \int_0^Y C_j(t, X, y)u(t, X, y)dy = 0. \quad (14)$$

Если в некоторой граничной точке B_0 значение функции тока есть ψ_0 , то ее значение ψ_1 в точке B_1 на той же границе определяется через интеграл по контуру области

$$\psi_1 = \psi_0 + \int_{B_0}^{B_1} (udy - vdx), \quad (15)$$

где компоненты u и v вектора скорости на границах области считаются заданными.

Граничные условия для уравнения переноса вихря (1) в таком виде, как, например, для уравнения переноса энергии, отсутствуют. В работе [5] сделан анализ различных способов нахождения $\omega_{гр}$ в данной точке граничной поверхности

через значения функции тока в отдельных точках нормали к этой поверхности. Ниже излагается способ нахождения $\omega_{гр}$ на граничных поверхностях, которые могут быть не координатными, а также для случая неортогональных сеток. В качестве граничного условия для (1) используется уравнение

$$\omega_{гр} = \frac{\partial^2 \psi}{\partial x^2} \Big|_{гр} + \frac{\partial^2 \psi}{\partial y^2} \Big|_{гр}, \quad (16)$$

которое вытекает из (4). Предполагается, что для произвольной точки граничной поверхности задан вектор скорости жидкости, а также для одной или нескольких внутренних точек, расположенных в ее окрестности, известны значения функции тока ψ . При этих условиях правая часть уравнения (16) определяется с использованием разложения функции ψ в указанных внутренних точках в ряд Тейлора. Для частного случая, когда нормаль к граничной поверхности параллельна оси x , $v_{гр} = v$, $u_{гр} = u$, $\psi_{гр} = \psi(x, y) = \psi_0$, $\psi(x + \Delta x_1, y) = \psi_1$, функция $\omega_{гр}$ может быть найдена с погрешностью порядка Δx_1 следующим образом. Согласно первому из условий (5) $\partial^2 \psi / \partial y^2 \Big|_{гр} = \partial u / \partial y \Big|_{гр}$. Производная $\partial^2 \psi / \partial x^2 \Big|_{гр}$ находится из разложения функции $\psi(x + \Delta x_1, y)$ в ряд Тейлора по степеням Δx_1 . Оставляя в ряду три первых члена и учитывая второе из условий (5), находим, что $\partial^2 \psi / \partial x^2 \Big|_{гр} = 2(\psi_1 - \psi_0 + v_{гр} \Delta x_1) / \Delta x_1^2 + O(\Delta x_1)$. Таким образом, выражение для определения $\omega_{гр}$ с погрешностью порядка $O(\Delta x_1)$ принимает вид

$$\omega_{гр} = \frac{2(\psi_1 - \psi_0 + v_{гр})}{\Delta x_1^2} + \frac{\partial u}{\partial y} \Big|_{гр}. \quad (17)$$

Для нахождения более точного значения $\omega_{гр}$ с погрешностью порядка $O(\Delta x^2)$ достаточно дополнительно задать еще для одной точки нормали значение функции тока $\psi(x + \Delta x_2, y) = \psi_2$. Тогда, удерживая в разложениях в ряд функций $\psi(x + \Delta x_1, y)$ и $\psi(x + \Delta x_2, y)$ четыре первых члена и комбинируя этими разложениями, получаем

$$\omega_{гр} = 2 \frac{\varphi^3 \psi_1 - \psi_2 - (\varphi^3 - 1) \psi_0 + (\varphi^2 - 1) \varphi v_{гр} \Delta x_1}{\varphi^2 (\varphi - 1) \Delta x_1} + \frac{\partial u}{\partial y} \Big|_{гр},$$

$$\varphi = \frac{\Delta x_1}{\Delta x_2}. \quad (18)$$

Когда граничная поверхность не параллельна координатной плоскости или разностная сетка не является ортогональной, следует считать, что внутренние узловые точки, которые находятся в окрестности данной граничной точки, не лежат на нормали к граничной поверхности. В таких случаях нахождение значения $\omega_{гр}$ осуществляется в такой последовательности. Строится декартова система координат с началом в рассматриваемой граничной узловой точке P_0 . Одна из осей координат направлена вдоль внутренней нормали η к граничной поверхности в точке P_0 , а вторая – вдоль касательной. В окрестности P_0 выбирается некоторое число S узловых точек P_s с координатами η_s, τ_s ($s = 1, 2, \dots, S$), которые связаны с координатами x и y этих точек в исходной системе координат соотношениями:

$$\eta_s = [x(P_s) - x(P_0)] \cos(\eta, x) + [y(P_s) - y(P_0)] \sin(\eta, x),$$

$$\tau_s = -[x(P_s) - x(P_0)] \sin(\eta, x) + [y(P_s) - y(P_0)] \cos(\eta, x).$$

Для каждой из точек P_s функция тока ψ_s выражается через значения функции и ее производные по координатам η, τ в точке P_0 путем разложения в ряд Тейлора, в котором удерживается некоторое конечное число членов. Если вектор скорости V на границах области является заданным, то для точки P_0 его проекции V_η и V_τ , а также их производные вдоль касательной τ , следует считать известными величинами. Это позволяет при помощи соотношений $\partial \psi / \partial \eta = V_\tau$, $\partial \psi / \partial \tau = -V_\eta$, $\partial^2 \psi / \partial \tau^2 = -\partial V_\eta / \partial \tau$, аналогичных (5), выразить часть из входящих в разложения производных от функции ψ в точке P_0 через компоненты скорости V_η и V_τ . Далее в результате варьирования преобразованных разложений находится выражение для производной $\partial^2 \psi / \partial \eta^2 \Big|_{P_0}$, а затем по уравнению $\omega_{P_0} = \partial^2 \psi / \partial \eta^2 \Big|_{P_0} + \partial^2 \psi / \partial \tau^2 \Big|_{P_0}$ и значение $\omega_{гр} = \omega_{P_0}$. Для нахождения $\omega_{гр}$ с погрешностью порядка $O(\Delta \eta_1 + \Delta \tau_1)$ достаточно располагать значением функции тока $\psi(\eta + \Delta \eta_1, \tau + \Delta \tau_1) = \psi_1$ в одной точке с координатами $\eta + \Delta \eta_1$ и $\tau + \Delta \tau_1$. Из разложения функции ψ_1 в ряд Тейлора по степеням $\Delta \eta_1$ и $\Delta \tau_1$, в котором удерживаются члены, содержащие производные от функции ψ по координатам η и τ не выше второго порядка, после соответствующих преобразований находим выражение

$\partial^2\psi / \partial\eta^2|_{P_0}$ в функции от ψ_0, ψ_1, V_η и V_τ . После подстановки значений $\partial^2\psi / \partial\eta^2|_{P_0}$ и $\partial^2\psi / \partial\tau^2|_{P_0}$ в уравнение для функции тока находим

$$\omega_{P_0} = \frac{2}{\Delta\eta_1^2} \left[\psi_1 - \psi_0 + \Delta\eta_1 V_\tau \Big|_{P_0} - \Delta\tau_1 V_\eta \Big|_{P_0} - \frac{1}{2} (\Delta\eta_1^2 + \Delta\tau_1^2) \frac{V_\eta}{\partial\tau} \Big|_{P_0} + \Delta\eta_1 \Delta\tau_1 \frac{\partial V_\tau}{\partial\tau} \Big|_{P_0} \right]. \quad (19)$$

Для случая непроницаемой неподвижной стенки, когда $V_\eta|_{\text{гр}} = V_\tau|_{\text{гр}} = 0$, полученное выражение переходит в известную формулу Тома [5].

Для определения ω_{P_0} с погрешностью порядка $O(\Delta\eta^2 + \Delta\tau^2)$ в разложении функции ψ требуется удерживать члены, содержащие производные от функции ψ по координатам η и τ до третьего порядка. Такое разложение имеет три неизвестные функции – $\partial^2\psi / \partial\eta^2|_{P_0}, \partial^3\psi / \partial\eta^3|_{P_0}$ и $\partial^3\psi / (\partial\eta^2\partial\tau)|_{P_0}$, поэтому в окрестности точки P_0 необходимо выбрать три внутренних точки. В результате комбинирования разложений функции тока для этих точек вначале находится $\partial^2\psi / \partial\eta^2|_{P_0}$, а затем и ω_{P_0} .

$$\omega_{P_0} = \sum_{s=1}^3 b_s \left[(\psi_s - \psi_0) + \Delta\eta_s V_\tau - \Delta\tau_s V_\eta - \frac{\Delta\tau_s^2}{2} \frac{\partial V_\eta}{\partial\tau} + \Delta\eta_s \Delta\tau_s \frac{\partial V_\tau}{\partial\tau} - \frac{\Delta\tau_s^3}{6} \frac{\partial^2 V_\eta}{\partial\tau^2} + \frac{\Delta\eta_s}{2} \Delta\tau_s^2 \frac{\partial^2 V_\tau}{\partial\tau^2} \right],$$

где $b_1 = 1 / [(a_{11} - a_{13}a_{31} / a_{33}) + (a_{12} - a_{13}a_{32} / a_{33}) \times (a_{21} - a_{23}a_{31} / a_{33}) / (a_{32} - a_{23}a_{32} / a_{33})]$;

$$b_2 = -b_1 (a_{21} - a_{23}a_{31} / a_{33}) / (a_{22} - a_{23}a_{32} / a_{33});$$

$$b_3 = -b_1 a_{31} / a_{33} - b_2 a_{32} / a_{33};$$

$$a_{1s} = \Delta\eta_s^2 / 2; a_{2s} = \Delta\eta_s^3 / 6; a_{3s} = \Delta\eta_s^2 \Delta\tau_s / 2; s=1,2,3.$$

Разностный метод расчета теплообмена в канале

Реализация системы уравнений (1)–(5) возможна на базе численных методов. Решение уравнений переноса вихря (1), энергии (2) и массы (3), содержащих конвективные члены, прово-

дится на основе явной трехслойной пересчетной разностной схемы [6]. В соответствии с этим каждому дифференциальному уравнению переноса ставится в соответствие два разностных, и искомая функция на каждом временном слое вычисляется в двух приближениях.

Разностные уравнения для первого приближения аппроксимируют неполное уравнение переноса, в котором сохраняются только конвективные члены и временная производная. Разностные уравнения для определения искомой функции во втором приближении строятся путем аппроксимации всех членов исходного дифференциального уравнения переноса.

На сетке

$$x_i = x_{i-1} + h_{x,i-1}, i = 1, 2, \dots, I, x_0 = x', x_I = x'',$$

$$y_m = y_{m-1} + h_{y,m-1}, m = 1, 2, \dots, M, y_0 = y', y_M = y'', (20)$$

$$t_n = t_{n-1} + l_n, n = 1, 2, \dots, l_n > 0, t_0 = 0,$$

разностные уравнения, которые служат для определения приближенных значений W_{im}^n функций $W(t_n, x_i, y_m), W = \omega, T, C_j$, и аппроксимируют уравнения (1)–(3) с погрешностью $O(l_n + h_{xi}^2 + h_{ym}^2)$, имеют вид

$$\delta_t \bar{\omega} + \delta_x (u\omega) + \delta_y (v\omega) = 0, \quad (21)$$

$$\frac{\omega_{im}^{n+1} - \omega}{l_n} (1 + \theta_\omega) - \frac{\omega - \omega_{im}^{n-1}}{l_{n-1}} \theta_\omega + \delta_x (u\bar{\omega}) + \delta_y (v\bar{\omega}) =$$

$$= \frac{1}{\text{Re}} (\delta_{xx} \bar{\omega} + \delta_{yy} \bar{\omega}) + \frac{\text{Gr}}{\text{Re}^2} (g_y \delta_x \bar{T} - g_x \delta_y \bar{T}) +$$

$$+ \sum_j \frac{\text{Gr}_{dj}}{\text{Re}^2} \left(\frac{g_y}{g} \delta_x \bar{C}_j + \frac{g_x}{g} \delta_y \bar{C}_j \right), \quad (22)$$

$$\delta_t \bar{T} + \delta_x (uT) + \delta_y (vT) = 0, \quad (23)$$

$$\frac{T_{im}^{n+1} - T}{l_n} (1 + \theta_T) - \frac{T - T_{im}^{n-1}}{l_{n-1}} \theta_T + \delta_x (u\bar{T}) +$$

$$+ \delta_y (v\bar{T}) = \frac{1}{\text{RePr}} (\delta_{xx} \bar{T} + \delta_{yy} \bar{T}), \quad (24)$$

$$\delta_t \bar{C}_j + \delta_x (uC_j) + \delta_y (vC_j) = 0, \quad (25)$$

$$\frac{C_{jim}^{n+1} - C}{l_n} (1 + \theta_j) - \frac{C_j - C_{jim}^{n-1}}{l_{n-1}} \theta_j + \delta_x (u \bar{C}_j) + \delta_y (v \bar{C}_j) = \frac{1}{\text{ReSc}} (\delta_{xx} \bar{C}_j + \delta_{yy} \bar{C}_j). \quad (26)$$

В разностных уравнениях (21)–(26) сеточные функции W_{im}^n , \bar{W}_{im}^{n+1} ($W = u, v, T, C_j, \psi, \omega$) для узловой точки (x_i, y_m, t_n) записаны для простоты без индексов, т.е. $W = W_{im}^n$, $\bar{W} = \bar{W}_{im}^n$; θ – весовой множитель, который позволяет устранить ограничение на шаг по времени, обусловленное диффузионными членами в уравнениях (1)–(3), $\theta \geq 0$;

$$\delta_t \bar{W} = \frac{\bar{W}_{im}^{n+1} - W_{im}^n}{l_n}; \quad \delta_x W = \frac{W_{i+1,m}^n - W_{i-1,m}^n}{x_{i+1} - x_{i-1}};$$

$$\delta_{xx} W = \left[\frac{W_{i+1,m}^n - W_{im}^n}{x_{i+1} - x_i} - \frac{W_{im}^n - W_{i-1,m}^n}{x_i - x_{i-1}} \right] / (x_{i+1} - x_{i-1}).$$

Необходимые условия устойчивости решения разностных уравнений (21)–(26) находятся при помощи метода условного задания некоторых искоемых функций системы [1]. При $\theta_{jim}^n = 0$, $\gamma = \omega$, T, C , когда уравнения (22), (24), (26) являются двухслойными, шаг по времени l_n^0 выбирается исходя из следующего условия устойчивости численного решения

$$l_n^0 \leq \min \{l_V, l_\omega, l_T, l_C\}, \quad (27)$$

$$\text{где } l_V = \left(u_{im}^n / h_{xi} + v_{im}^n / h_{ym} \right)^{-1};$$

$$l_\omega = \left[2 \left(1 / h_{xi}^2 + 1 / h_{ym}^2 \right) / \text{Re} \right]^{-1};$$

$$l_T = \left[2 \left(1 / h_{xi}^2 + 1 / h_{ym}^2 \right) / (\text{Re} \cdot \text{Pr}) \right]^{-1};$$

$$l_C = \left[2 \left(1 / h_{xi}^2 + 1 / h_{ym}^2 \right) / (\text{Re} \cdot \text{Sc}) \right]^{-1}. \text{ Если } l_V > l_\gamma, \text{ то}$$

благодаря параметру θ_{jim}^n можно выбрать более крупный шаг $l_n > l_n^0$ в соответствии с условием $l_V \geq l_n > l_\gamma$, $\gamma = \omega, T, U$. При этом параметр θ_{jim}^n находится по условиям, которые обеспечивают устойчивость решения уравнений (21)–(26):

$$\theta_{jim}^n = (l_n / l_\gamma - 1) / 2, \quad l_n / l_\gamma > 1,$$

$$\theta_{jim}^n = 0, \quad l_n / l_\gamma \leq 1. \quad (28)$$

Уравнение для функции тока (4) решается на каждом временном слое n методом установления с использованием явной трехслойной разностной схемы [6]. На сетке, отличающейся от (20) тем, что вместо реального времени t_n вводится дискретная переменная $t_k = t_{k-1} + l_k$ ($k = 1, 2, \dots$, $l_k > 0, t_0 = 0$), разностная аппроксимация уравнения (4) с погрешностью порядка $l_k + h_{xi}^2 + h_{ym}^2$ записывается следующим образом:

$$\frac{\Psi_{im}^{k+1} - \Psi_{im}^k}{l_k} (1 + \theta_{jim}^k) - \frac{\Psi_{im}^k - \Psi_{im}^{k-1}}{l_{k-1}} \theta_{jim}^k = \delta_{xx} \Psi_{im}^k + \delta_{yy} \Psi_{im}^k - \omega_{im}^{n+1}, \quad (29)$$

где θ_{jim}^k – весовой параметр, $\theta_{jim}^k \geq 0$. После произвольного выбора шагов l_k, h_{xi}, h_{ym} , определяются значения весового параметра θ_{jim}^k в соответствии с условиями устойчивости уравнения (14)

$$\theta_{jim}^k = (l_k / l_\psi - 1) / 2, \quad l_k > l_\psi,$$

$$\theta_{jim}^k = 0, \quad l_k \leq l_\psi, \quad (30)$$

причем $l_\psi = \left[2 \left(1 / h_{xi}^2 + 1 / h_{ym}^2 \right) \right]^{-1}$. Результаты численных экспериментов показали, что минимальные затраты машинного времени на установление решения для функции тока достигаются при значении параметра $\theta_{jim}^k = 2 \dots 2,5$. Ему отвечает пяти-шестикратное увеличение временного шага по сравнению с максимальным шагом для обычной явной двухслойной разностной схемы. Процесс установления решения (14) считается завершенным, если удовлетворяется условие $\sum_i \sum_m (\Psi_{im}^{k+1} - \Psi_{im}^k) / l_k \leq \Delta$, где Δ – малое положительное число. В этом случае полагается, что $\Psi_{im}^{n+1} = \Psi_{im}^k$. Следует отметить, что поскольку изменение последнего члена в правой части уравнения (29) в течение одного временного шага имеет порядок l_k , число итераций для установления решения уравнения (29) является незначительным. В качестве начального приближения, отвечающего значению $k = 0$, принимается $\Psi_{im}^k = \Psi_{im}^n$.

Составляющие вектора скорости u_{im}^{n+1} и v_{im}^{n+1} определяются по разностным уравнениям, вытекающим из соотношений (5):

$$u_{im}^{n+1} = \delta_y \Psi_{im}^{n+1}, \quad v_{im}^{n+1} = -\delta_x \Psi_{im}^{n+1}. \quad (31)$$

Численное решение задачи течения и тепло-массообмена в канале проводится в такой последовательности. На временном слое $n = 0$ значения искомых сеточных функций $u, v, T, C_j, \psi, \omega$ определяются условиями (7) и соотношениями (5). Если для момента $t = 0$ функции $u_H, v_H, \psi_H, \omega_H$ равны нулю, а T_H и C_{jH} постоянные величины, то

$$u_{im}^0 = v_{im}^0 = \psi_{im}^0 = \omega_{im}^0 = 0, \quad T_{im}^0 = T_H, \quad C_{jim}^0 = C_{jH}. \quad (32)$$

Предположим, что значения сеточных функций для временных слоев $1, 2, \dots, n$ уже найдены и требуется определить их для слоя n . Вначале по разностным уравнениям (21), (23), (25) вычисляются предварительные значения функций $\bar{\Psi}_{im}^{n+1}, \bar{T}_{im}^{n+1}$ и \bar{C}_{jim}^{n+1} во внутренних узловых точках $i = 1, 2, \dots, I - 1; m = 1, 2, \dots, M - 1$, причем $x_0 = 0, x_I = X, y_0 = 0, y_M = Y$. В граничных узловых точках принимается

$$\bar{\Psi}_{im}^{n+1} = \Psi_{im}^n, \quad \bar{T}_{im}^{n+1} = T_{im}^n, \quad \bar{C}_{jim}^{n+1} = C_{jim}^n. \quad (33)$$

Далее по уравнениям (22), (24) и (26) находят окончательные значения сеточных функций $\Psi_{im}^{n+1}, T_{im}^{n+1}$ и C_{jim}^{n+1} во внутренних узловых точках.

Функции $u_{0m}^{n+1}, v_{0m}^{n+1}, T_{0m}^{n+1}, C_{j0m}^{n+1}$ в узловых точках входного сечения ($m = 0$) канала определяются согласно (8) и (25):

$$W_{i0}^{n+1} = W_0(t_{n+1}, x_i), \quad W = v, T, C_j; \quad u_{0m}^{n+1} = 0; \quad \Psi_{i+1,0}^{n+1} = \Psi_{i,0}^{n+1} - (v_{i+1,0}^{n+1} + v_{i,0}^{n+1})h_{xi} / 2. \quad (34)$$

В узлах на проницаемой стенке ($i = I$) сеточные функции определяются по разностным аппроксимациям уравнений (9)–(11), (15):

$$v_{I,m}^{n+1} = 0; \quad u_{I,m}^{n+1} = \sum_j G_{j,m}^{n+1} / \sum_j C_{j,I,m}^n, \quad C_{j,I,m}^{n+1} = (C_{j,I-1,m}^{n+1} + G_{jm}^{n+1} h_{xl} \operatorname{Re} Sc) / (1 + u_{I,m}^{n+1} h_{xl} \operatorname{Re} Sc), \quad T_{I,m}^{n+1} = T_m^{n+1}, \quad \Psi_{I,m+1}^{n+1} = \Psi_{I,m}^{n+1} + (u_{I,m+1}^{n+1} + u_{I,m}^{n+1})h_{ym} / 2, \quad m = 1, 2, \dots, M. \quad (35)$$

В узлах, лежащих в плоскости симметрии канала ($i = 0$), согласно (12)

$$W_{0,m}^{n+1} = W_{1,m}^{n+1}, \quad W = v, T, C_j; \quad u_{0,m}^{n+1} = \omega_{0,m}^{n+1} = 0. \quad (36)$$

В узлах выходного сечения ($m = M$) сеточные функции находятся на базе условий (12) при $s = 1$ и (15):

$$W_{i,M}^{n+1} = W_{i,M-1}^{n+1}, \quad W = u, v, T, C_j; \quad \Psi_{i+1,M}^{n+1} = \Psi_{i,M}^{n+1} - (v_{i+1,M}^{n+1} + v_{i,M}^{n+1})h_{xi} / 2, \quad i = 1, 2, \dots, I - 1. \quad (37)$$

Повышение точности решения на основе уравнения баланса массы (14) может быть достигнуто следующим образом. Найденные согласно (37) значения продольных скоростей v рассматриваются как их первое приближение $\bar{v}_{i,M}^{n+1}, i = 1, 2, \dots, I$. Они используются для нахождения (с использованием, например, формулы трапеций) приближенного расхода жидкости \bar{G}_M через сечение $m = M$. Точное значение расхода через это сечение находится по уравнению (14). Окончательные значения скоростей $v_{i,M}^{n+1}$ находятся по уравнению

$$v_{i,M}^{n+1} = \bar{v}_{i,M}^{n+1} \frac{G_M}{\bar{G}_M}. \quad (38)$$

Значение $\Psi_{i,M}^{n+1}$ определяется по последнему уравнению системы (37).

Нахождение искомых функций на слое $n + 1$ завершается вычислением функции вихря ω в граничных узловых точках по соотношениям, которые получены путем аппроксимации уравнений вида (13) и (17):

$$\omega_{i,0}^{n+1} = -(v_{i+1,0}^{n+1} - v_{i-1,0}^{n+1}) / (h_{i-1} + h_i) + 2(\Psi_{i,1}^{n+1} - \Psi_{i,0}^{n+1} - u_{i,0}^{n+1} h_{y0}) / h_{y0}^2, \quad \omega_{i,M}^{n+1} = 2\omega_{i,M-1}^{n+1} - \omega_{i,M-2}^{n+1}, \quad \omega_{0,m}^{n+1} = 0, \quad \omega_{I,m}^{n+1} = -(u_{I,m+1}^{n+1} - v_{I,m-1}^{n+1}) / (h_{y,m-1} + h_{y,m-1}) + 2(\Psi_{I-1,m}^{n+1} - \Psi_{I,m}^{n+1} - u_{I,m}^{n+1} h_{I-1}) / h_{I-1}^2. \quad (39)$$

Для задач естественной конвекции в областях с непроницаемыми стенками алгоритм решения упрощается, поскольку в этом случае для граничных узловых точек $u = v = \psi = 0$.

Как показали численные эксперименты, начиная с некоторого числа Рейнольдса $Re = Re'$, после переходных фаз начального периода возникает нестационарность решения. Если не применять процедуру сглаживания численного решения, то при дальнейшем увеличении числа Re , когда его значение превысит предельную величину $Re^* > Re'$, происходит нарушение устойчивости решения. Последнее выражается в том, что скорость и другие характеристики процесса стремятся к бесконечности. Значение Re^* при достаточно большом числе узловых точек пространственной разностной сетки находится в соответствии с критическим числом Рейнольдса, начиная с которого режим течения и теплообмена становится турбулентным.

При изучении турбулентных режимов конвекции обычно мгновенные значения скорости, температуры концентрации представляются суммами их средних значений и отклонений от средних значений, называемых пульсациями.

Исследования турбулентных режимов конвекции обычно базируются на предложении Рейнольдса об усреднении уравнений Навье-Стокса, в соответствии с которым мгновенные значения скорости, давления, плотности и температуры представляются суммами их средних и пульсационных значений.

При этом исходные уравнения Навье-Стокса с использованием некоторых дополнительных условий, называемых постулатами Рейнольдса, преобразуются в уравнения относительно осредненных значений искомых функций. В последних в выражения для тензора напряжений включаются члены, зависящие от пульсационных составляющих скорости, давления, плотности и температуры. Эти уравнения оказываются незамкнутыми. Чтобы их замкнуть требуется установление взаимосвязи между характеристиками осредненного и пульсационного переносов. Обычно вместо истинных значений кинематических коэффициентов вязкости, теплопроводности и диффузии D в уравнения течения и теплообмена подставляются их эффективные значения $v_{эф} = v + v_T$, $\lambda_{эф} = \lambda + \lambda_T$ и $D_{эф} = D + D_T$, причем $v_T \geq 0$, $\lambda_T \geq 0$ и $D_T \geq 0$ и их определение связано с необходимостью использования большого объема эмпирической информации. Это

обстоятельство приводит к снижению достоверности и универсальности получаемых результатов расчетов турбулентной конвекции.

Для численного решения задач естественной конвекции при значительных числах Re ($Re > Re^*$) в работе [4] предлагается другой подход. Он базируется непосредственно на уравнениях Навье-Стокса с константами переноса, которые не зависят от режима течения, и методе торможения скоростей изменения искомых функций ω , T , C в некоторых узловых точках области, в которых эти скорости превышают допустимые значения с физической точки зрения и по условиям устойчивости решения. Необходимость операции торможения скоростей обусловлена следующим обстоятельством. Проблемы возникновения неустойчивости при численном решении уравнений Навье-Стокса и при протекании физического процесса конвекции, когда значения чисел Пекле или Рейнольдса достаточно велики, имеют общие черты. Однако, при возникновении численной неустойчивости значение, например, скорости жидкости стремится к бесконечности, тогда как во всех реальных процессах течения и теплообмена все физические параметры потока (скорость, температура, концентрация компонентов), как и их временные производные, остаются ограниченными (например, скорость течения не может достигнуть скорости света). Устранение указанного несоответствия в характере развития неустойчивости может быть достигнуто путем наложения на временные производные от функций ω , T , C , ψ в некоторых узловых точках области, в которых эти скорости превышают допустимые по условиям устойчивости значения, ограничения следующего вида:

$$\frac{\partial W}{\partial t} = A_W \frac{\partial W}{\partial t} / \left| \frac{\partial W}{\partial t} \right|, \quad \text{если} \quad \left| \frac{\partial W}{\partial t} \right| > A_W,$$

$$W = \omega, \psi, T, C. \quad (40)$$

Здесь A_W — положительная величина, которая может быть выбрана исходя из требования минимизации числа узловых точек B_W , в которых на временном слое в момент установления решения реализуется согласно (40) коррекция скорости $\partial W / \partial t$, $W = \omega, \psi, T, C$.

Процедура торможения скоростей может рассматриваться как отвод избыточной энергии в некоторых точках рассматриваемой области. Эта энергия в реальных системах переходит в энергию турбулентных пульсаций, масштаб которых меньше масштаба разностной сетки, и поэтому они не могут проявиться при численном решении. Таким образом, можно считать, что процедура торможения скоростей изменения функций ω , ψ , T , C позволяет исключить из рассмотрения мелкомасштабные турбулентные пульсации.

Результаты численного моделирования

Результаты численного решения непосредственно уравнений Навье-Стокса при числах Рейнольдса, отвечающих ламинарному режиму течения, хорошо согласуются с известными экспериментальными данными. При более высоких значениях Re возникает необходимость применения процедуры торможения скоростей изменения искомых функций в соответствии с условием (40).

Как показали численные эксперименты, величина A_W слабо зависит от числа узловых точек пространственной сетки $B = I \cdot M$ и числа Re . Это обстоятельство позволяет выбирать A_W неизменной в достаточно широком диапазоне чисел Рейнольдса. С увеличением числа Re при прочих неизменных условиях величина B_W возрастает, причем практически во всех случаях выполняется условие $B_\omega > B_T > B_C$. При расчете турбулентного переноса относительное число $b_W = B_W / B$ узлов, в которых осуществляется коррекция скорости, вначале достаточно быстро растет, а за-

тем, достигнув максимума, монотонно снижается и в дальнейшем стабилизируется. Как видно из таблицы, при дроблении шагов разностной сетки величина b_ω , отвечающая моменту стабилизации решения, монотонно снижается. По мере уменьшения шагов разностной сетки все более мелкомасштабные вихри оказываются учтенными при численном решении уравнений (1)–(5) и это дает основание полагать, что способ торможения скоростей на достаточно мелкой сетке позволяет получать решение уравнений Навье-Стокса для турбулентного течения и теплообмена с высокой степенью точности.

На базе изложенного численного метода проведено решение задачи течения и теплообмена парогазовой смеси в плоском щелевом канале — $X < x < X$ и вдуве пара через проницаемые стенки в широком диапазоне изменения числа Рейнольдса. Условия однозначности были приняты симметричными относительно средней плоскости щели. Вдоль оси y разностная сетка принималась равномерной. В поперечном направлении сетка сгущается вблизи стенок канала. Сгущение носит ступенчатый характер. На каждой ступени размер шага остается неизменным. В направлении к стенке канала на каждой последующей ступени шаг вдвое меньше, чем на предыдущей. Это позволяет сохранить второй порядок погрешности аппроксимации относительно шагов пространственной разностной сетки для всех узловых точек.

На рис. 1 представлены для сопоставления зависимости Nu от Re при $Pr = 1$ для каналов с непроницаемыми стенками, построенные на базе численного решения, по эмпирическому уравнению [2]

Значения b_ω в зависимости от числа Re и минимального относительного шага $\bar{h}_{\min} = \min(h_i)/X$.

Re	$\bar{h}_{\min} \cdot 10^3$		
	0,567	0,2835	0,14175
$1 \cdot 10^4$	0,0024	0,0008	0
$5 \cdot 10^4$	0,0332	0,0184	0,0021
$1 \cdot 10^5$	0,3917	0,0824	0,0042
$5 \cdot 10^5$	0,5153	0,0119	0,0049
$1 \cdot 10^6$	0,772	0,5086	0,0084
$2 \cdot 10^6$	0,8956	0,6723	0,5210
$1 \cdot 10^7$	0,9680	0,9421	0,9242

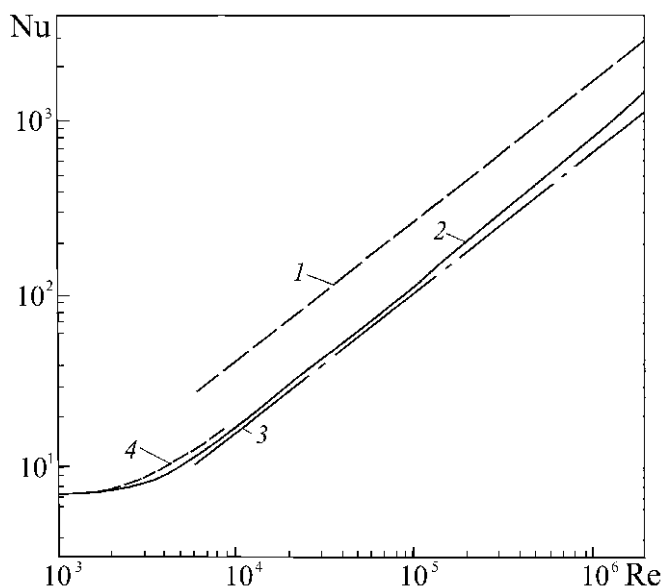


Рис. 1. Зависимость числа Nu от числа Re при $Pr = 1$ для каналов с непроницаемыми стенками: 1 – расчет по формуле (34) для круглой трубы; 2 – результаты численного решения для плоского щелевого канала; 3 – расчет по (35) для кольцевого канала; 4 – расчет по (36) для щелевого канала.

$$Nu = 0,021Re^{0,8}Pr^{0,43}, \quad (41)$$

для круглой трубы, по эмпирическому уравнению [2]

$$Nu = 0,017Re^{0,8}Pr^{0,4}(d_2/d_1)^{0,18} \quad \text{при} \\ d_2 = d_2 - d_1 \text{ и } d_2/d_1 \rightarrow 1 \quad (42)$$

для кольцевого канала, по приближенному аналитическому решению для щелевого канала с непроницаемыми стенками при заданном параболическом профиле скорости [7]:

$$Nu = 1,85(Re d_j/Y_\kappa)^{1/3}, \quad Re d_j/L > 70; \\ Nu = 7,50, \quad Re d_j/L < 70, \quad (43)$$

где $Re = RePr$; $d_j = 4X$ – эквивалентный диаметр щели. Как видно из рисунка, представленные зависимости удовлетворительно согласуются. Исходя из результатов численного моделирования на рис. 2 показано, как изменяется относительное число Нуссельта Nu_j/Nu (где Nu_j – число Нуссельта при $J' = \sum_j J'_j \neq 0$, а Nu – при $J' = 0$)

в зависимости от относительной плотности потока массы J'/J_0 через проницаемую стенку.

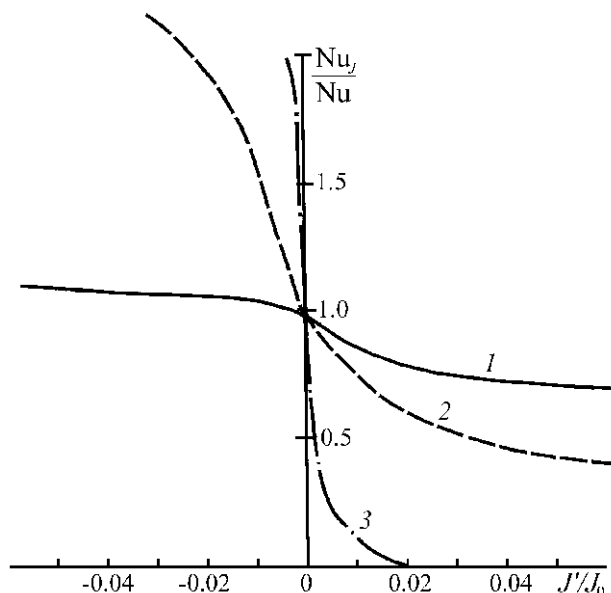


Рис. 2. Зависимости относительного числа Нуссельта Nu_j/Nu от относительной плотности потока массы J'/J_0 через проницаемую стенку при различных числах Рейнольдса: 1 – $Re = 10^3$; 2 – 10^4 ; 3 – 10^5 .

Видно, что возрастание плотности дувяемого пара приводит к уменьшению числа Nu_j , а возрастание плотности отсасываемого газа – к его увеличению.

Выводы

1. Результаты проведенных вычислительных экспериментов свидетельствуют о том, что разработанные математическая модель и численный метод расчета позволяют рассчитать процессы течения и тепломассообмена в канале с проницаемыми стенками при различных режимах течения жидкости.

2. Сопоставление результатов численных и физических экспериментов свидетельствуют о том, что применяемая в работе процедура торможения скоростей изменения функции вихря, функции тока, температуры и концентрации компонентов дает возможность непосредственно на базе уравнений Навье-Стокса с константами переноса, которые не зависят от режима течения, удовлетворительно описать тепломассоперенос при переходном и турбулентном режимах течения.

ЛИТЕРАТУРА

1. *Никитенко Н.И.* Теория тепломассопереноса. Киев: Наук. думка, 1983.
2. *Теория* тепломассообмена. Под редакцией А. И. Леонтьева. М.: МГТУ им. Баумана. 1997.
3. *Никитенко Н.И.* Сеточный метод расчета течения и теплообмена вязкой несжимаемой жидкости. // ИФЖ. 1986. Т. 50, N 3. С. 476 – 482.
4. *Никитенко Н.И., Кольчик Ю.Н., Сороковая Ю.Н.* Метод канонических элементов для моделирования гидродинамики и тепломассообмена

в областях произвольной формы. // ИФЖ. 2002. Т. 75, N 6. С. 74–80.

5. *Роуч П.* Вычислительная гидродинамика. М.: Мир, 1980.
6. *Никитенко Н.И.* Сопряженные и обратные задачи тепломассопереноса. Киев: Наук. думка, 1988.
7. *Исаченко В.П., Осипова В.А, Сукомел А.С.* Теплопередача. М. : Энергоиздат, 1981.

Получено 15.11.2005 г.

УДК 536.24:697.32

БАСОК Б.И., ДЕМЧЕНКО В.Г., МАРТЫНЕНКО М.П.

Институт технической теплофизики НАН Украины

ЧИСЛЕННОЕ МОДЕЛИРОВАНИЕ ПРОЦЕССОВ АЭРОДИНАМИКИ В ТОПКЕ ВОДОГРЕЙНОГО КОТЛА СО ВТОРИЧНЫМ ИЗЛУЧАТЕЛЕМ

Розглянуто числове моделювання аеродинаміки в топці водогрійного котла. Наведено поля векторів швидкості та тиску в різні моменти часу. Обговорено результати проведеного числового дослідження.

Рассмотрено численное моделирование аэродинамики в топке водогрейного котла. Представлены поля векторов скорости и давления в различные моменты времени. Обсуждены результаты проведенного численного исследования.

The numerical modeling of aerodynamic at hot-water boiler furnace is considered. Fields of magnitude velocity and pressure at different time moment are presented. The results of relevant numerical data are discussed.

C – константы;
 D – диаметр топочной камеры;
 d – диаметр;
 G_k – генерация турбулентной кинетической энергии, обусловленная градиентом средней скорости;
 H – длина топочной камеры;
 h – глубина погружения горелки;
 K – отношение расхода газов, идущих на повторный дожог к расходу газа в горелке;
 k – кинетическая энергия турбулентности;
 L – геометрический параметр, включающий перемещение огневой трубы относительно жаровой, изменение глубины погружения горелки и ширину плоскости выхода;

l – расстояние от трубы излучателя до фронтальной стенки котла;
 p – статическое давление;
 t – время;
 u – скорость;
 x – координата;
 α – коэффициент избытка воздуха;
 ε – скорость диссипации;
 μ – коэффициент эффективной вязкости;
 ρ – плотность;
 σ – число Прандтля;
 τ – касательное напряжение.

Индексы

k – обусловленное кинетической энергией турбулентности;